

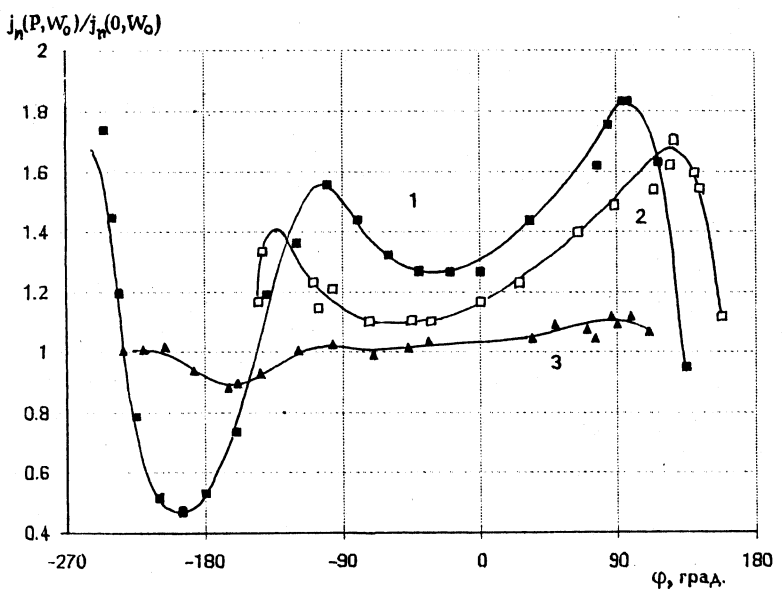
СВЧ ФОКУСИРОВКА ЭЛЕКТРОНОВ ПУЧКА В УСКОРЯЮЩЕЙ СТРУКТУРЕ $4\pi/3$

*Г.М.Иванов, В.И.Курилко, Л.А.Махненко, А.Н.Опанасенко,
П.М.Рябка, С.А.Черенщиков*

Существенная отличительная особенность предложенных в работе [1] ускоряющих структур с рабочим типом колебаний $\theta > \pi$ заключается в том, что для этих структур амплитуда аксиально-симметричной гармоники, несинхронной с релятивистским пучком, в несколько раз больше, чем амплитуда ускоряющей волны. В этом случае, как показали теоретические исследования [2,3], при определенных параметрах пучка и амплитуды указанной гармоники может осуществляться СВЧ фокусировка пучка.

В данной работе приведены результаты экспериментального исследования фокусирующей способности ускоряющей структуры с рабочим типом колебаний $\theta = 4\pi/3$. Эксперименты проводились на универсальном инжекторном комплексе ЛУЭ-300 (ХФТИ, Харьков), работающем в режиме запасенной энергии [4]. Испытываемая структура была установлена на место второй ускоряющей секции, третья — демонтирована. На расстоянии $l = 250$ см от выходного конца исследуемой секции длиной $L = 170$ см с помощью секционированного цилиндра Фарадея [5] измерялась плотность потока частиц вблизи оси в зависимости от фазы φ поля ускоряющей волны для нескольких значений циркулирующей в кольце структуры $4\pi/3$ мощности P и энергии электронов на входном конце секции W_0 . Энергия пучка (W_0) определялась магнитным спектр-анализатором по положению максимума энергетического спектра.

Результаты эксперимента представлены на рисунке в виде семейства зависимостей от фазы φ ускоряющей волны отношения плотности тока $j_n(P, W_0)$, нормированного на полный ток пучка, к аналогичной величине $j_n(0, W_0)$, измеренной при отсутствии СВЧ мощности в секции. Кривые 1, 2, 3 соответствуют следующим значениям энергии пучка и СВЧ мощности: 1 — $W_0 = 13$ МэВ, $P = 53$ МВт; 2 — $W_0 = 18$ МэВ, $P = 53$ МВт; 3 — $W_0 = 13$ МэВ, $P = 13$ МВт. Приращение энергии ΔW пучка в секции имеет косинусоидальную зависимость от φ : $\Delta W = \Delta W_{\max} \cos \varphi$. Как следует из данных, приведенных на рисунке, для частиц пучка при определенных условиях имеет место фокусировка: $j_n(P, W_0)/j_n(0, W_0) > 1$. При этом с увеличением энергии W_0 пучка (кривые 1 → 2) или с уменьшением циркулирующей мощности P (кривые 1 → 3) фокусирующая, равно как и дефокусирующая ($j_n(P, W_0)/j_n(0, W_0) < 1$) способности секции снижаются. Погрешность проведенных измерений не хуже $\pm 10\%$. Наблюдаемая СВЧ фокусировка имеет два выраженных максимума, приблизительно симметрично расположенных относительно гребня ускоряющей волны ($\varphi_1^{(\pm)} \cong \pm 100^\circ$ —



1 — $W_0 = 13 \text{ МэВ}, P = 53 \text{ МВт}; 2 — W_0 = 18 \text{ МэВ}, P = 53 \text{ МВт}; 3 — W_0 = 13 \text{ МэВ}, P = 13 \text{ МВт}.$

кривая 1, $\varphi_2^{(\pm)} \cong \pm 130^\circ$ — кривая 2, $\varphi_3^{(\pm)} \cong \pm 90^\circ$ — кривая 3). В окрестности положительных экстремальных фаз ($\varphi_1^{(+)}, \varphi_2^{(+)}, \varphi_3^{(+)}$) достигается максимальная плотность пучка. По всей видимости, данный максимум лежит в интервале фаз, где происходит энергетическое сжатие сгустка, что может приводить к уменьшению поперечного разброса пучка, поскольку поперечное ускорение частицы убывает с ростом ее энергии, как P/W^2 . Сильная расфокусировка пучка и падение токопрохождения примерно в 9 раз наблюдаются в случае $W_0 = 13 \text{ МэВ}, P = 53 \text{ МВт}$ (кривая 1) в области фаз максимального торможения $\varphi \approx -180^\circ$. В этих условиях значительная часть частиц полностью тормозится в секции или рассеивается в канале транспортировки. Чередование экстремумов в плотности пучка при изменении энергии частиц вытекает из того, что в усредненном по быстроосцилирующей фазе аксиально-симметричном радиальном поле поперечное движение частиц носит периодический характер, период которого растет с увеличением энергии [2].

Проводя аналогию между фокусирующей способностью исследуемой секции и оптической линзой, определим параметр СВЧ фокусировки, как

$$\varepsilon = L/\mathcal{L}, \quad (1)$$

где \mathcal{L} — длина четверти периода фокусировки, которая аналогична фокусному расстоянию линзы. При условии

$$q = \left| \frac{eD\sqrt{PR_0}}{2\pi(W + m_0c^2)} \right| \ll l \quad (2)$$

величина \mathcal{L} следующим образом выражается через параметры пучка и поперечного поля в данной структуре:

$$\mathcal{L} = \frac{\sqrt{2D}}{2q}. \quad (3)$$

Здесь и выше: q — безразмерная амплитуда радиальной СВЧ силы, действующей на частицы, расположенные на единичном радиусе от оси; R_0 — последовательное сопротивление фокусирующей гармоники; D — высота резонаторной чашки секции; m_0c^2 , e — масса покоя и заряд электрона. Подставляя в формулы (1-3) данные эксперимента для режима ускорения ($W \cong 13$ МэВ, $P = 53$ МВт, $\varphi \cong 90^\circ$, $R_0 \cong 500$ Ом/см², $L = 170$ см), при котором достигнута практически максимальная плотность тока (см. кривая 1), получим значение параметра фокусировки, равное: $\varepsilon \cong 0.46$, откуда следует, что в рассматриваемом случае по результатам воздействия на поперечные размеры пучка исследуемая структура аналогична толстой фокусирующей линзе, для которой фокусное расстояние сравнимое с ее толщиной.

Список литературы

- [1] Айзацкий Н.И., Биллер Е.З., Волобуев В.В. и др. // ВАНТ. Сер.: Ядернофизические исследования (Теория и эксперимент). Харьков, 1991. Вып. 3(21). С. 16–18.
- [2] Степанов К.Н., Махненко Л.А., Пахомов В.И. // ЖТФ. 1965. Т. 35. Вып. 4. С. 618–622.
- [3] Айзацкий Н.И., Буляк Е.В., Курилко В.И. // Труды 12 Всесоюзного совещания по ускорителям заряженных частиц (Москва, 3–5 октября 1990 г.). Дубна, 1992. Т. 1. С. 412–415.
- [4] Ажиппо В.А., Айзацкий Н.И., Гончар В.П. и др. // Письма в ЖТФ. 1985. Т. 11. Вып. 22. С. 1387–1389.
- [5] Рябка П.М., Соловьевник В.Г. // Труды 12 Всесоюзного совещания по ускорителям заряженных частиц (Москва 3–5 октября 1990 г.). Дубна, 1992. Т. 1. С. 67–70.

Харьковский физико-технический
институт
АН Украины

Поступило в Редакцию
28 апреля 1993 г.